



Polymer Gear Fault Detection Based on Audio Signal and Wavelet Packet Transform

ARTICLE INFO

Article Type
Original Research

Authors

Vaghefi M.^{1,2},
Tavallali MS.^{2,3*},
Jahedi R.^{4,5},
Ghodsinejad A.¹,
Saadatfard MM.⁴

How to cite this article

Vaghefi M, Tavallali MS, Jahedi R, Ghodsinejad A, Saadatfard MM, Polymer Gear Fault Detection Based on Audio Signal and Wavelet Packet Transform. Modares Mechanical Engineering; 2024;24(06):351-362.

ABSTRACT

Gears are a very important part of mechanical equipment in industry. Due to the fact that in mechanical processes, the teeth are subjected to long-term load, the surface of their teeth is usually rusty, worn out and even broken. Timely fault detection cannot only increase the life cycle of the gears, however it can even prevent property losses and losses due to breakdowns. Therefore, it is necessary to monitor and diagnose the health of the gears to ensure the normal operation of the invaluable machines in industry. In this research, fault detection in polymer gears using audio signal is considered as a non-contact inspection method. Sound signals were recorded from 50 pairs of gears in normal condition, worn teeth and broken teeth at two speeds of 66 and 99 rpm. In the following, using wavelet packet transformation (WPT), the sound signal is analyzed in the time-frequency domain and 12 statistical features are extracted from the 16 coefficients of the fourth level of WPT. In order to study the performance of the fault detection algorithm, four classifications of linear discriminant analysis, K-nearest neighbor, decision tree and support vector machine have been used. The values of accuracy, true positive rate, true negative rate, positive predictive value, negative predictive value, geometric-mean, F1 score, and Matthews correlation coefficient have shown that by using WPT, a significant distinction can be found between normal and faulty gears. Therefore, the proposed method is a suitable approach for timely error detection of polymer gears used in mechanical equipment.

Keywords Fault Detection, Polymer Gear, Time-Frequency Domain, Wavelet Packet Transform, Non-Contact inspection.

CITATION LINKS

¹ Department of Electrical Engineering, Shiraz Branch, Islamic Azad University, Shiraz, Iran.

² Department of Advanced Calculations, Chemical, Petroleum & Polymer Engineering Research Center, Shiraz Branch, Islamic Azad University, Shiraz, Iran.

³ Department of Chemical Engineering, Shiraz Branch, Islamic Azad University, Shiraz, Iran.

⁴ Department of Mechanical Engineering, Shiraz Branch, Islamic Azad University, Shiraz, Iran

⁵ Department of Applied Researches, Chemical, Petroleum & Polymer Engineering Research Center, Shiraz Branch, Islamic Azad University, Shiraz, Iran

*Correspondence

Address: Department of Advanced Calculations, Chemical, Petroleum & Polymer Engineering Research Center, Shiraz Branch, Islamic Azad University, Shiraz, Iran.

ms.tavallali@iau.ac.ir

Article History

Received: February 25, 2024

Accepted: August 11, 2024

ePublished: September 4, 2024

- [1- A Review on Fault Detection ...](#)
- [2- Fault detection in nonlinear dynamical systems ...](#)
- [3- Deep Transfer Learning Models for Industrial Fault Diagnosis ...](#)
- [4- Acoustic-Based Engine Fault Diagnosis ...](#)
- [5- Acoustic fault analysis of three commutator motors,](#)
- [6- An efficient acoustic-based diagnosis ...](#)
- [7- Fault diagnosis of synchronous hydraulic motor ...](#)
- [8- Time-Frequency Distribution Map-Based Convolutional Neural Network \(CNN\) Model ...](#)
- [9- Gear Fault Diagnosis through Vibration ...](#)
- [10- A new audio signalbased methodology ...](#)
- [11- Intelligent fault diagnosis of helical gearboxes ...](#)
- [12- Local fault detection in helical gears via vibration and acoustic signals ...](#)
- [13- Common spatial pattern-based feature extraction ...](#)
- [14- An experimental study of acoustic emissions ...](#)
- [15- Intelligent acoustic-based fault diagnosis of roller bearings ...](#)
- [16- Research of Planetary Gear Fault Diagnosis ...](#)
- [17- Automatic gear and bearing fault localization ...](#)
- [18- Fault diagnosis of gearbox ...](#)
- [19- A Bearing Fault Diagnosis Method ...](#)
- [20- Experimental comparison of acoustic emission sensors ...](#)
- [21- A New Approach for Fault Detection, Location and Diagnosis ...](#)
- [22- Acoustic signal based fault detection ...](#)
- [23 - Early Fault Detection of Planetary Gearbox ...](#)
- [24- Supervised Machine Learning Based Approach ...](#)
- [25- Polymer Gear Fault Classification ...](#)
- [26- Vibration based fault detection of polymer gear,](#)
- [27- A New Hybrid LSTM-GRU Model ...](#)
- [28- Induction motor bearing fault classification ...](#)
- [29- Design and manufacture of diaphragm gas meter gear test device,](#)
- [30- Laboratory investigation of the effect of adding nanoparticles to polyoxymethylene ...](#)
- [31- An expert system for fault diagnosis ...](#)
- [32- An introduction to wavelets,](#)
- [33- A Review of Wavelet Analysis ...](#)
- [34- Feature extraction method of rolling bearing ...](#)
- [35- Motor Bearing Fault Detection ...](#)
- [36- Automobile Gearbox Fault Diagnosis ...](#)
- [37- Mechanical fault diagnosis based on ...](#)
- [38- A Machine Learning Approach for Polymer Classification ...](#)

غیرقابل قبول یک متغیر فرایند، نسبت به رفتار یا حالت طبیعی آن تعریف کرد. به عبارت دیگر، خطا ممکن است باعث ایجاد اشکال یا خرابی آن فرایند گردد^[۱] و یک راه موثر برای افزایش قابلیت اطمینان فرآیندهای صنعتی، ارائه الگوریتم‌های تشخیص خطا جهت پایش لحظه به لحظه‌ی فرآیند است^[۲]. فرایند تشخیص خطا (Fault Detection) اغلب برای نظارت، یافتن و تشخیص خطاهای در یک سیستم با استفاده از مفهوم افزونگی، (اعم از افزونگی سخت‌افزاری Hardware Redundancy) یا افزونگی افزاری Software Redundancy) با هدف بهبود قابلیت اطمینان سیستم (یا افزونگی تحلیلی Analytical Redundancy) استفاده می‌شود. از نظر قابلیت اطمینان، افزونگی سخت‌افزار پرهزینه است و علاوه بر افزایش وزن، مقدار فضای موجود را نیز افزایش می‌دهد. رویکرد افزونگی تحلیلی، جریان اصلی تحقیقات تشخیص خطا بوده است^[۳].

برخی از روش‌های عیوب‌یابی و تشخیص خطا در صنعت بر مبنای داده‌های ارتعاش، دمانگاری و امواج آتراسونیک است. در این بین، روش تشخیص خطا مبتنی بر صوت (Acoustic) به عنوان یک روش غیرتھاجمی دارای ویژگی‌هایی همچون قیمت مناسب، پیچیدگی کمتر، پیاده‌سازی آسان‌تر و انعطاف‌پذیری بیشتر است. این تکنیک غالباً شامل چهار مرحله جمع‌آوری داده، تجزیه سیگنال، استخراج ویژگی و طبقه‌بندی وضعیت خطا است^[۴-۶]. استفاده از روش‌های پردازش سیگنال و فرآیندهای تشخیصی می‌تواند باعث بهبود کارایی سیستم‌ها و کاهش خطرات گردد، از این‌رو، هاو و همکاران با استفاده از ترکیب انرژی بسته موجک و ضریب همبستگی پیرسون تشخیص عیوب مبتنی بر سیگنال‌های صوتی را برای موتورهای هیدرولیک هم‌زمان بررسی نموده‌اند^[۷]. زی و همکاران از تجزیه مد تجربی گروهی، تبدیل هیلبرت – هانگ و شبکه عصبی پیچشی برای تشخیص نشتی خط لوله در زیر آب استفاده کرده‌اند^[۸].

تجهیزات مکانیکی صنعت نفت و صنایع وابسته از قطعات انتقال مانند شفت، بلبرینگ، چرخ‌دنده و تسمه تشکیل شده که معمولی- ترین جزء کلیدی تجهیزات دوران، چرخ‌دنده‌ها هستند که برای مدت طولانی تحت بار بوده و بیشتر مستعد خرابی خواهند بود^[۹]. در سال‌های اخیر بررسی اینگونه تجهیزات دوران، توجه بسیاری از پژوهشگران را به خود جلب نموده است. برای مثال، البغرنی و همکاران به منظور تشخیص خطا در چرخ‌دنده‌ها از ضرایب مدل خودهمبسته برای تحلیل سیگنال‌های صوتی کسب شده از چرخ‌دنده‌ها استفاده نموده‌اند^[۱۰]. تنگ و همکاران با ترکیب دو روش اندازه‌گیری غیرتاماسی (تصاویر حرارتی و سیگنال‌های صوتی) و کسب داده از تلفن همراه و با استفاده از شبکه عصبی پیچشی دوکاناله، سلامت گیربکس‌های حلزونی (Helical Gearboxes) را بررسی نموده‌اند^[۱۱]. آمارنات و همکار با استفاده از الگوریتم تجزیه مد تجربی، خطای چرخ‌دنده مارپیچی (Helical Gears) را با

تشخیص خطای چرخ‌دنده پلیمری بر مبنای سیگنال صوتی و تبدیل بسته موجک

مهسا واقفی^[۱]، محمد صادق توّلی^[۲]، رضا جاهدی^[۳]

امیر سعید قدسی‌نژاد^[۴]، محمد مسیح سعادت فرد^[۵]

^[۱] گروه مهندسی برق، واحد شیراز، دانشگاه آزاد اسلامی، شیراز، ایران.

^[۲] گروه محاسبات پیشرفته، مرکز تحقیقات مهندسی شیمی، نفت و پلیمر، دانشگاه آزاد اسلامی، شیراز، ایران.

^[۳] گروه مهندسی شیمی، واحد شیراز، دانشگاه آزاد اسلامی، شیراز، ایران.

^[۴] گروه مهندسی مکانیک، واحد شیراز، دانشگاه آزاد اسلامی، شیراز، ایران.

^[۵] گروه پژوهش‌های کاربردی، مرکز تحقیقات مهندسی شیمی، نفت و پلیمر، دانشگاه آزاد اسلامی، شیراز، ایران.

چکیده

چرخ‌دنده‌ها بخش بسیار مهمی از تجهیزات مختلف مکانیکی در صنعت هستند. به دلیل آن‌که در فرآیندهای مکانیکی، دندانه‌ها در طولانی مدت تحت بار قرار می‌گیرند، سطح دندانه آن‌ها معمولاً فرسوده، ساییده و حتی شکسته می‌شود. تشخیص به موقع خطا نه تنها می‌تواند چرخ‌دنده‌ها را افزایش دهد بلکه حتی می‌تواند از تلفات اموال و تلفات ناشی از خرابی‌ها نیز جلوگیری نماید. بنابراین، نظارت و تشخیص سلامت چرخ‌دنده‌ها برای اطمینان از عملکرد طبیعی ماشین‌های گرانبهای در صنعت امری ضروری است. در این پژوهش، تشخیص خطا در چرخ‌دنده‌های پلیمری، با استفاده از سیگنال صوتی به عنوان یک روش بازرسی غیرتاماسی مدنظر قرار گرفته است. بدین منظور از ۵۰ زوج چرخ‌دنده در وضعیت سالم، دندانه‌های ساییده شده و دندانه‌های شکسته شده در دو سرعت ۶۶ و ۹۹ دوربرد دقيقه، سیگنال صوت ضبط شده است. در ادامه با استفاده از تبدیل بسته موجک (WPT)، سیگنال صوت در حوزه زمان – فرکانس تجزیه شده و ۱۲ ویژگی آماری از ۱۶ ضریب سطح چهارم WPT استخراج شده است. به منظور بررسی عملکرد الگوریتم تشخیص خطا از چهار طبقه‌بند جدا‌ساز خطی، K نزدیک‌ترین همسایه، درخت تصمیم و ماشین بردار پشتیبان استفاده شده است. مقادیر معیارهای دقت، نرخ مثبت واقعی، نرخ منفی واقعی، ارزش پیش‌بینی مثبت، ارزش پیش‌بینی منفی، میانگین هندسی، نرمه F1 و ضریب همبستگی متبیوز، نشان داده است که با استفاده از WPT، می‌توان تمايز معنی‌داری میان چرخ‌دنده‌های سالم و معیوب پیدا کرد. از این‌رو، روش پیشنهادی یک رویکرد مناسب، برای تشخیص خطای به موقع چرخ‌دنده‌های پلیمری مورد استفاده در تجهیزات مکانیکی است.

کلیدواژه‌ها: تشخیص خطا، چرخ‌دنده پلیمری، حوزه زمان – فرکانس، تبدیل بسته موجک، بازرسی غیرتاماسی

تاریخ دریافت: ۱۴۰۲/۱۲/۰۶

تاریخ پذیرش: ۱۴۰۳/۰۵/۲۱

*نویسنده مسئول: ms.tavallali@iau.ac.ir

۱- مقدمه

پیشرفت بسیاری از فرآیندها در صنعت نفت و گاز وابسته به عملکرد تجهیزات دوران است. تجهیز بسیاری از این فرآیندها به سنسورهای بسیار دقیق، زمینه را برای جمع آوری اطلاعات مورد نیاز برای کشف خطای ایجاد می‌نماید تا نظارت مناسب از وضعیت یک فرآیند انجام گیرد. خطای چرخ‌دنده بعنوان خروجی

امروزه در چندین صنعت از جمله هواپسا، نساجی، مواد غذایی، خودروسازی و سایر زمینه‌ها، چرخ دنده‌های پلیمری به طور گستردۀ ای برای انتقال حرکت به کار گرفته شده‌اند. این گستردۀ کاربرد، به دلیل خواص مکانیکی این نوع چرخدنده‌ها است به طوری که در تجهیزات هواپسا از چرخدنده‌های کامپوزیتی در انتقال محرك روتورکرافت (Rotorcraf) استفاده شده است تا وزن را تا ۲۰ درصد کاهش دهند و در عین حال ظرفیت حمل بار را نیز حفظ کنند^[24]. دنده‌های پلیمری نسبت به دنده‌های فلزی، سبک‌تر، دارای اینرسی کمتر و بسیار کم صدایتر هستند. به منظور طبقه‌بندی خطای چرخدنده پلیمری، کومار و همکاران از ترکیب تبدیل موجک گستته (DWT) و تجزیه مدد تجربی استفاده نموده‌اند. در این پژوهش از ویژگی‌های آنتروپوی، پارامتر Hijorth و ترکیبی از این دو ویژگی و طبقه‌بندکننده‌های ماشین بردار پشتیبان، یادگیری جمعی و درخت تصمیم استفاده شده است^[25]. ایشان در همین راستا به منظور تشخیص دنده‌های سالم و ناسالم پلیمری از ویژگی‌های آماری مانند جذر میانگین مریعات، کوتزیس و انحراف معیار^[26] و همچنین از ترکیب دو طبقه‌بند حافظه طولانی کوتاه مدت و شبکه‌های عصبی واحد بازگشتی دروازه‌دار و سیگنال ارتعاشی برای عیوب‌یابی چرخ دنده‌های پلیمری استفاده نمودند^[27].

مسئله تشخیص خطا در چرخدنده‌های پلیمری تاکنون به طور بسیار محدودی بررسی شده است، لذا با توجه به گستره قابل توجه استفاده از چرخدنده‌های پلیمری، در این پژوهش، پایش غیرتماسی، صوتی و هوشمند وضعیت چرخدنده پلیمری در سه حالت چرخدنده‌های سالم، با چرخدنده‌های ساییده شده و با چرخدنده‌های شکسته شده مورد بررسی قرار گرفته است. برای بررسی و تشخیص خطا، از یک میکروفون با الگوی برداشت صدای کاردیوئید استفاده شده است. روش‌های سنتی معمولاً سیگنال را در حوزه زمان و یا فرکانس مورد پردازش قرار می‌دهند که این روش‌ها نمی‌تواند اطلاعات کاملی از سیگنال را استخراج کنند. اما روش‌های حوزه زمان - فرکانس قادر هستند تا ترکیبی از اطلاعات در هر دو حوزه را استخراج کنند و از طرف دیگر، ویژگی‌های سیگنال‌های غیرخطی و غیرایستا را با دقت بهتری توصیف می‌کنند^[28]. از این رو، با استفاده از تبدیل بسته موجک، سیگنال صوتی در حوزه زمان - فرکانس تجزیه شده است. پس از تجزیه سیگنال، اطلاعات مربوط به آن با استفاده از ویژگی‌های آماری استخراج شده و به عنوان ورودی برای طبقه‌بند کننده استفاده شده است تا وضعیت چرخدنده سالم در مقایسه با چرخدنده معیوب بررسی گردد. ساختار این مقاله به شرح زیر است. ابتدا نحوه اجرای آزمایش و ثبت سیگنال صوتی شرح داده شده و سپس نحوه آنالیز و بررسی سیگنال صوت (که شامل پنجه‌بندی سیگنال، تبدیل بسته موجک، ویژگی‌های آماری، نرمال‌سازی، معیارهای سنجش، اعتبارسنجی و طبقه‌بندی است) آورده شده است. در گام بعد نتایج

استفاده از سیگنال‌های صوتی و شتاب‌سنج بررسی کرده‌اند^[12]. همچنین کارابک و همکاران از طریق اندازه‌گیری ارتعاش و آکوستیک و با استفاده از الگوی فضایی مشترک، نحوه تشخیص عیوب چرخدنده‌های حلزونی در طول شرایط عملیاتی مختلف را ارزیابی نموده‌اند^[13]. کاسو و همکاران با استفاده از سیگنال انتشار آکوستیک و طیف فرکانسی، تشخیص خطای چرخدنده سیاره‌ای (Planetary Gear) را ارزیابی نمودند^[14]. یاتاقان غلتکی یکی از اجزای اصلی بسیاری از ماشین‌آلات است که به طور مستقیم می‌تواند روی عملکرد کل دستگاه تاثیرگذار باشد. با توجه به آن که سیگنال‌های صوتی کسب شده از یاتاقان‌های غلتکی، اطلاعات مناسبی را از وضعیت سلامتی آن‌ها فراهم کنند، ژانگ و همکاران، از شبکه پیچشی گرافی عمیق برای بررسی تشخیص خطا مبتنی بر صوت این یاتاقان‌های غلتکی استفاده کردند^[15]. کوآی و همکاران، با استفاده از تجزیه مدد تجربی گروهی کامل با نویز تطبیقی و سیستم استنتاج فازی عصبی - تطبیقی، یک سیستم تشخیص خطای چرخدنده مبتنی بر سنسورهای ارتعاش‌سنج را پیشنهاد داده‌اند^[16]. ژانگ و همکاران با استفاده از تبدیل موجک و بهره‌گیری از سیگنال صوتی و سنسور لرزش، خطای چرخدنده‌ها را ارزیابی نموده‌اند^[17]. شبکه عصبی پس‌انتشار و بهینه سازی ازدحام ذرات آشوب برای تشخیص خطای گیربکس استفاده نموده‌اند^[18]. هی و همکاران از تبدیل بسته موجک و شبکه عصبی پیچشی بهینه شده برای تشخیص خطای بلبرینگ استفاده نموده‌اند^[19]. مسرخانی و همکار با استفاده از شبکه عصبی مصنوعی و پارامترها و ویژگی‌های مختلف در حوزه زمان، چهار موقعیت متفاوت (سالم و سه حالت معیوب) از بلبرینگ تماس زاویه‌ای را ارزیابی و نقش‌های موجود را مشخص نمودند^[20]. پره‌های توربین بادی اغلب تحت تأثیر عوامل مختلف محیطی دچار خطا می‌شوند و وجود خطا باعث تغییر رفتار آن‌ها می‌گردد. در همین راستا، مارکز و همکاران با استفاده از دیدگاه تبدیل موجک، پره‌های سالم و معیوب کسب شده از امواج هدایت شده اولتراسونیک را ارزیابی کردند^[21]. لیو و همکاران با استفاده از ضرایب کپسٹرال فرکانس مل و درخت تصمیم، سیگنال صوتی تسمه نقاله را بررسی نمودند^[22]. گیربکس خورشیدی در صنعت مدرن امروزه بسیار مورد استفاده قرار گرفته است و به طور مستقیم می‌تواند اینمی عملکرد سیستم ماشین‌آلات که از آن‌ها برای انتقال نیرو استفاده می‌شود، را تعیین کند. برای افزایش قابلیت اطمینان این گیربکس‌ها، لیو و همکاران از تکنیک نشر صوتی و تجزیه مدد متغیر برای تشخیص زود هنگام این نوع خطاهای استفاده کردند^[23].

در چند دهه اخیر، برخی چرخدنده‌های فلزی به منظور کاهش وزن و هزینه ساخت با چرخ دنده‌های پلیمری جایگزین شده‌اند که بدون روغن کاری، کار می‌کنند و صدا و لرزش کمتری نیز دارند.



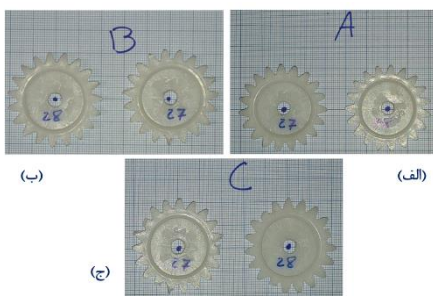
شکل ۱) زیرشکلی در متن ارائه شده موجود نبود.

چرخ دندنهای و اعمال بازه زمانی جمع آوری داده‌ها یک نرم افزار با استفاده از محیط Python طراحی شده است. این نرم افزار پس از وارد کردن اطلاعات چرخ دندنهای، به مدت ۶۰ ثانیه صدای چرخش چرخ دندنهای را ثبت و به صورت خودکار دسته‌بندی می‌کند.

۳-۲- نمونه چرخ دندنهای

در ابتدا ۱۰۰ عدد چرخ دندنه شماره‌گذاری شده و هر جفت چرخ دندنه بر روی محورهای دستگاه با استفاده از پیچ متصل شده است. صدای چرخ دندنهای با دو سرعت چرخش ۶۶ و ۹۹ دور در دقیقه ضبط گردیده است (گروه سالم). سپس با استفاده از یک سوهان به صورت کاملاً تصادفی، ۳ عدد از دندانهای هر چرخ دندنه ساییده شده و از فرم استاندارد اینولوت (Involute) خارج شده‌اند و دوباره صدای چرخش آن‌ها ضبط شده است (گروه ساییده شده). در نهایت همان دندانه‌هایی که سوهان زده شده‌اند، با استفاده از یک سیم چین با اندازه و زاویه‌های تصادفی کوتاه شده و برای سومین بار صدای آن‌ها با هر دو سرعت یاد شده ضبط شده است (گروه شکسته شده). در شکل ۲ تصویریک زوج چرخ دندنه در سه وضعیت سالم، دندانه‌های ساییده شده و دندانه‌های شکسته نشان داده شده است. بنابراین به طور خلاصه مراحل ثبت صوت از چرخ دندنهای را می‌توان به شرح زیر خلاصه کرد:

(الف) شماره‌گذاری چرخ دندنهای (ب) ثبت صدای از هر زوج چرخ دندنه در دو سرعت چرخش ۶۶ و ۹۹ دور بر دقیقه (گروه سالم) (ج) ساییده کردن ۳ عدد دندانه از چرخ دندنهای به طور تصادفی و ثبت صدا در دو سرعت ۶۶ و ۹۹ دور بر دقیقه (گروه ساییده شده) (د) شکاندن دندانه‌های ساییده شده و ثبت صدا در دو سرعت ۶۶ و ۹۹ دور بر دقیقه (گروه شکسته شده).



شکل ۲) تصویریک زوج چرخ دندنه پلیمری (الف) سالم (ب) ساییده شده (ج) شکسته شده

تشخیص خطای چرخ دندنهای پلیمری ارائه شده و در نهایت به تحلیل، بررسی و نتیجه‌گیری این نتایج پرداخته شده است.

۲- کسب داده آزمایشگاهی

۱-۲- دستگاه

در مطالعه حاضر دستگاه تست چرخ دندنه ساخته شده در پایان-نامه‌های اردونا^[29] و خوشکار^[30] در مرکز تحقیقات مهندسی شیمی، نفت و پلیمر رفع عیب و ارتقا داده شد. همان‌طور که در شکل ۱ نشان داده شده است، دو محور موازی مسئولیت ایجاد و انتقال حرکت چرخ دندنهای پلیمری را از موتوری که سرعت قابل کنترلی دارد به عهده دارند. یکی از محورها به یک موتور جریان متناوب با قدرت ۱۰۰ وات توسط یک پولی و تسمه متصل شده و محور دیگر در نگهدارنده بلبرینگی به صورت آزاد جای گرفته است. این محورها با استفاده از بلبرینگ‌ها و ورق‌های اکریلیک پلکسی گلاس عمود بر محورها در جای خود ثابت شده‌اند.

همچنین جهت تنظیم سرعت موتور از یک مبدل LS iC5 استفاده شده است. این مبدل قابلیت تولید جریان متناوب با فرکانس‌های متغیر را دارد که می‌تواند سرعت موتور را به صورت دقیق تغییر دهد. لذا با کمک این مبدل، اثر تغییر فرکانس و در نتیجه اثر تغییر سرعت دوران خروجی موتور قابل بررسی است. در این پژوهش فرکانس برق ورودی از ۵۰ هرتز به دو فرکانس ۱۰ و ۱۵ هرتز کاهش یافته که سرعت دوران خروجی موتور را کاهش دهنده سرعت چرخش محورها با استفاده از یک سنسور اثر هال اندازه‌گیری شده است. در این دستگاه، با توجه به طول تسمه و قطر پولی و موتور به کار رفته در دستگاه، ۶۶ دور در دقیقه برای فرکانس ۱۰ هرتز و ۹۹ دور در دقیقه برای فرکانس ۱۵ هرتز ثبت شده است.

علاوه بر صدای چرخدندهای، صدای موتور، پولی و بلبرینگ‌ها هم تولید می‌شود که به منظور کاهش نویزهای اضافی یک جعبه محصور طراحی شده و چرخدندهای و میکروفون درون آن جعبه قرار گرفته و از بقیه قسمت‌ها جدا شده است. جدار داخلی جعبه با پدهای صدایگیر پوشانده شده است تا انعکاس صدا و ورود صدا از بیرون به درون جعبه را به حداقل برساند. میکروفون از نوع MTV550 با الگوی برداشت صدای کاربیوئید است که با استفاده از درایور دیجیتال همراه میکروفون با درگاه USB به رایانه متصل شده است. ارتعاشات مازاد دستگاه به حداقل رسانده شده و تولید صدای مازاد و لغزش تسمه روی پولی با کمک سیستم انتقال قدرت تسمه تایم کاهش یافته است.

۲-۲- جمع آوری داده

سیگنال صوتی کسب شده از میکروفون، با فرکانس نمونه‌برداری ۴/۱ kHz ضبط شده است. جهت سهولت مدیریت داده‌های صوتی ضبط شده و ارتباط آن با اطلاعات مکمل از جمله دسته‌بندی



شکل ۳) فرایند آنالیز و تشخیص خطای چرخ‌دنده پلیمری

همچنین فرکانس بالا در مراحل بعدی تجزیه استفاده می‌شود. در شکل ۴، ساختار درختی تبدیل بسته موجک برای ۴ سطح تجزیه نشان داده شده است، در مرحله اول تجزیه، سیگنال به دو زیرباند پایین‌گذر و بالا‌گذر تجزیه شده است. در دومین مرحله تجزیه، چهار زیرباند فرکانسی ایجاد شده و به همین ترتیب، در سومین سطح تجزیه ۸ زیرباند فرکانسی و در چهارمین سطح تجزیه ۱۶ زیرباند فرکانسی ایجاد خواهد شد. برای تجزیه و تحلیل سیگنال‌ها، موجک‌های مادر بسیاری تاکنون تعریف شده است که عموماً انتخاب آن‌ها به نوع سیگنال و ماهیت کاربرد آن بستگی دارد^[32]. در این پژوهش از موجک مادر دابشیز ۴ (db4) استفاده شده است و سیگنال به ۴ سطح تجزیه شده که در سطح تجزیه آخر، ۱۶ ضریب موجک به دست آمده است. در شکل ۵، ضرایب استخراج شده برای چرخ‌دنده سالم، چرخ‌دنده با دندانه‌های ساییده شده و چرخ‌دنده با دندانه‌های شکسته شده نشان داده شده است.

۳-۴-۲- استخراج ویژگی

با توجه به اینکه برای هر حالت چرخ‌دنده، ۲۰۰۰ سیگنال (پنجره‌هایی با طول ۱ s) در نظر گرفته شده و هر سیگنال نیز با استفاده از WPT به ۱۶ زیرباند تجزیه شده، در نهایت برای هر وضعیت از چرخ‌دنده ۴۰۰۰۰۰ سری زمانی ساخته شده است. به منظور دسترسی به اطلاعات ضرایب موجک از ۱۲ ویژگی آماری برای استخراج ویژگی از آن‌ها استفاده شده که فرمول ریاضی آن‌ها در جدول ۱ آورده شده است. این ویژگی‌ها شامل میانگین، میانگین مطلق، انحراف معیار، جذر میانگین مربعات، چولگی، کشیدگی، توان، انرژی، لگاریتم انرژی، انرژی Teager، انرژی شانون و مقدار عبور از صفر است.

۴-۴-۲- نرمال‌سازی ویژگی‌ها

به منظور مقایسه منصفانه مقادیر ویژگی‌های اندازه‌گیری شده در میان تمام گروه‌ها، با استفاده از تکنیک نرمال‌سازی مینیمم-ماکزیمم، جهت نرمال‌سازی مقدار ویژگی‌ها بین مقدار صفر و یک استفاده شده است:

$$z_i = \frac{x_i - \min(x)}{\max(x) - \min(x)} \quad (1)$$

که x بردار ویژگی مدنظر، x_i مقدار ویژگی اصلی و z_i مقدار ویژگی نرمال شده است.

۴-۲- روش آنالیز داده‌ها

در برخی از کاربردهای عملی پردازش سیگنال، مانند کاربردهای پیشکشی، اطلاعات حوزه زمان و حوزه فرکانس به راحتی قابل تفکیک و تمایز نبوده و نیاز به استفاده از اطلاعات حوزه زمان - فرکانس است.

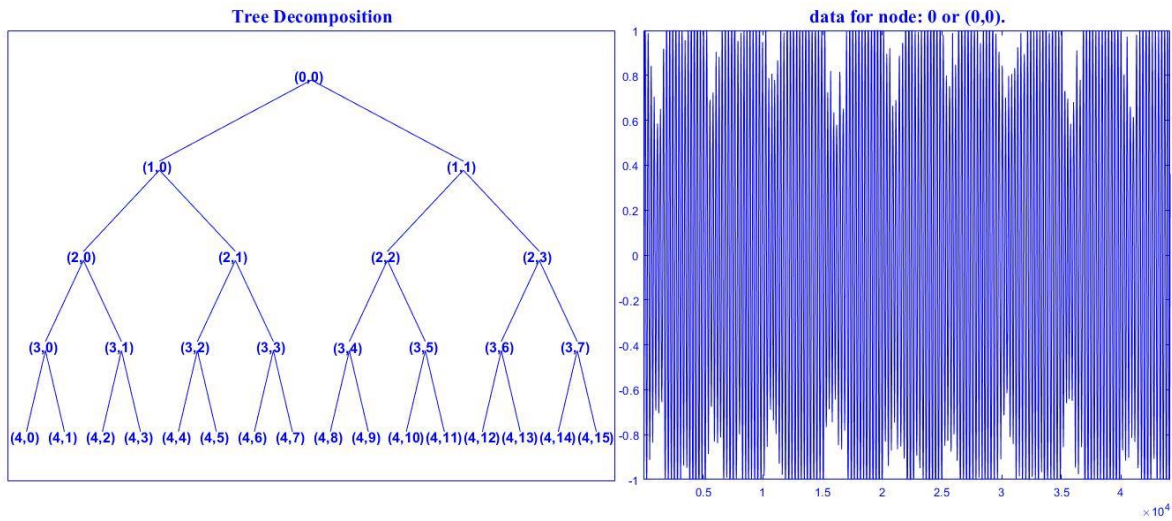
مطابق این نتایج در هر سه حوزه مورد بررسی، تفاوت میان سه گروه چرخ‌دنده سالم، ساییده شده و شکسته شده به صورت واضح قابل مشاهده است. با توجه به اینکه در روش‌های مبتنی بر زمان، اطلاعات فرکانسی در دسترس نیستند و با استفاده از روش‌های حوزه فرکانس نیز اطلاعات زمان از دست می‌رود، لذا برای اینکه بتوان همزمان به اطلاعات حوزه زمان و حوزه فرکانس دسترسی داشت، در فرآیند آنالیز و تشخیص خطای چرخ‌دنده حوزه زمان - فرکانس استفاده شده است. در شکل ۳، این فرآیند شامل مرحله اکتساب داده، پنجره‌بندی، تبدیل بسته موجک (WPT)، استخراج ویژگی‌های آماری، نرمالیز کردن و طبقه‌بندی است.

۴-۱- پنجره‌بندی

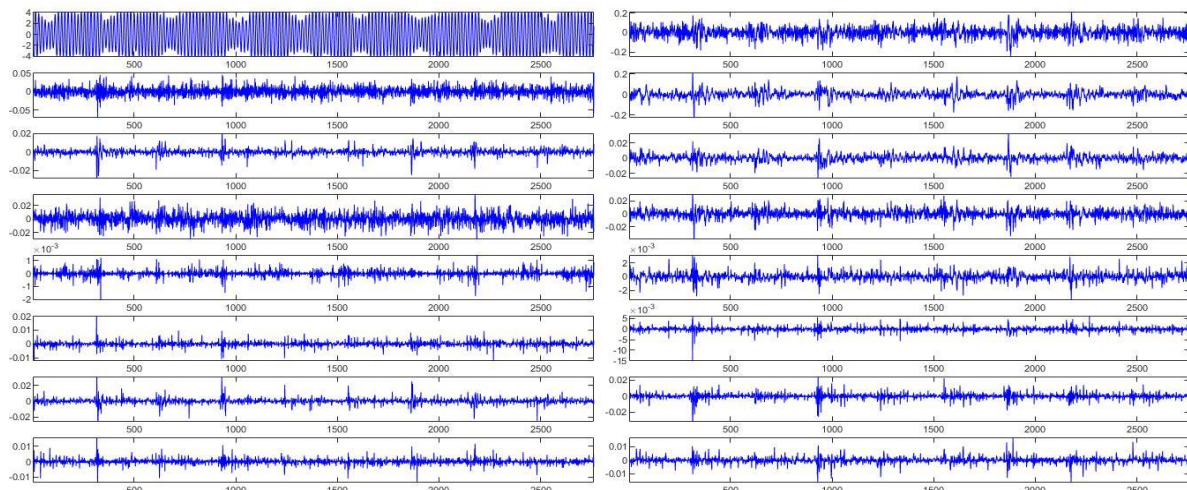
برای حفظ شرایط مشابه ضبط برای تمام نمونه‌ها، ۵ ثانیه ابتدایی و همچنین ۵ ثانیه انتهایی از سیگنال حذف شده و از ۵۰ ثانیه باقی‌مانده در تحلیل‌ها استفاده شده است. از این رو از پنجره‌هایی با طول ۱ s و بدون همپوشانی استفاده شد که با توجه به فرکانس نمونه‌برداری ۴۴/۱ KHz، هر پنجره شامل ۴۴۱۰۰ نمونه است. بنابراین با توجه به اینکه آزمایش بر روی ۵۰ زوج چرخ‌دنده انجام شده است، برای هر یک از سه حالت چرخ‌دنده، ۲۵۰۰ پنجره با طول ۱ s در هر سرعت چرخش وجود دارد.

۴-۲- تبدیل بسته موجک

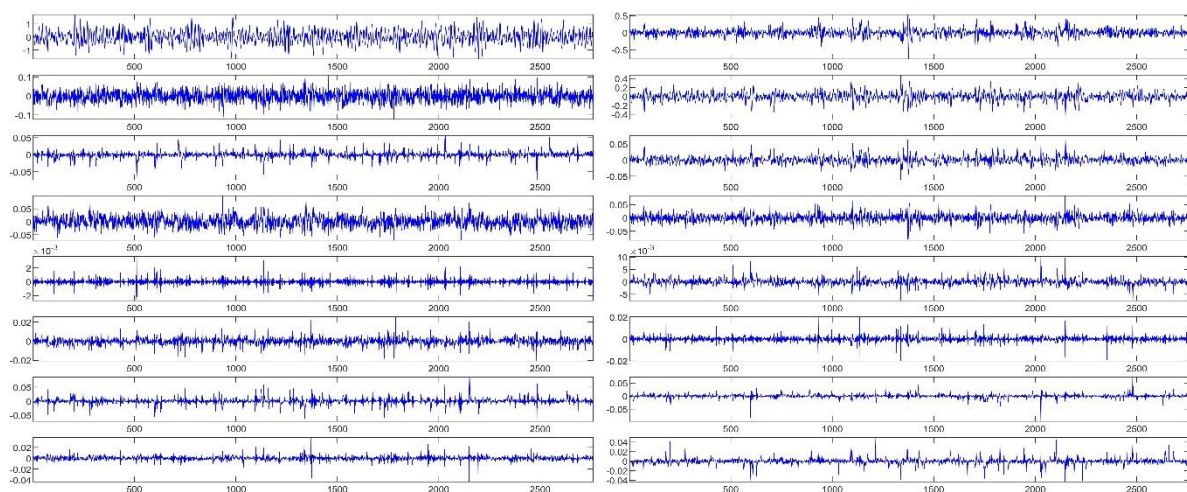
روش تبدیل موجک (WT) یکی از روش‌های حوزه زمان - فرکانس است که به دلیل ویژگی تفکیک‌پذیر بودن، در مقایسه با دیگر تبدیلات زمان - فرکانس مانند تبدیل فوریه زمان کوتاه و تبدیل ویکنر ویل از مزایای بیشتری برخوردار است^[30]. تبدیل موجک توانایی تجزیه و تحلیل ویژگی‌های سیگنال در حوزه زمان و فرکانس را با تجزیه آن به تعدادی مولفه متعامد متقابل با استفاده از یک تابع واحد به نام موجک مادر دارد. در واقع در این روش به جای استفاده از توابع سینوس و کسینوس، از توابعی به نام موجک استفاده می‌شود و سیگنال به دو بخش تقریب (Approximation) و جزئیات (Detail) تفکیک می‌شود. در این پژوهش از بسط تبدیل موجک گسسته (DWT) که تبدیل بسته موجک (WPT) نام دارد، استفاده شده است. در تبدیل بسته موجک برخلاف تبدیل موجک گسسته، در هر سطح از تجزیه، هر دو ضریب‌های جزئیات و تقریب مجدد تجزیه می‌شوند که این ویژگی باعث شده است که WPT در مقایسه با DWT انعطاف‌پذیری بیشتری داشته باشد و محتوای فرکانسی سیگنال را نیز بهتر نشان دهد. به عبارت دیگر، در WPT از زیرمجموعه‌های فرکانس پایین و



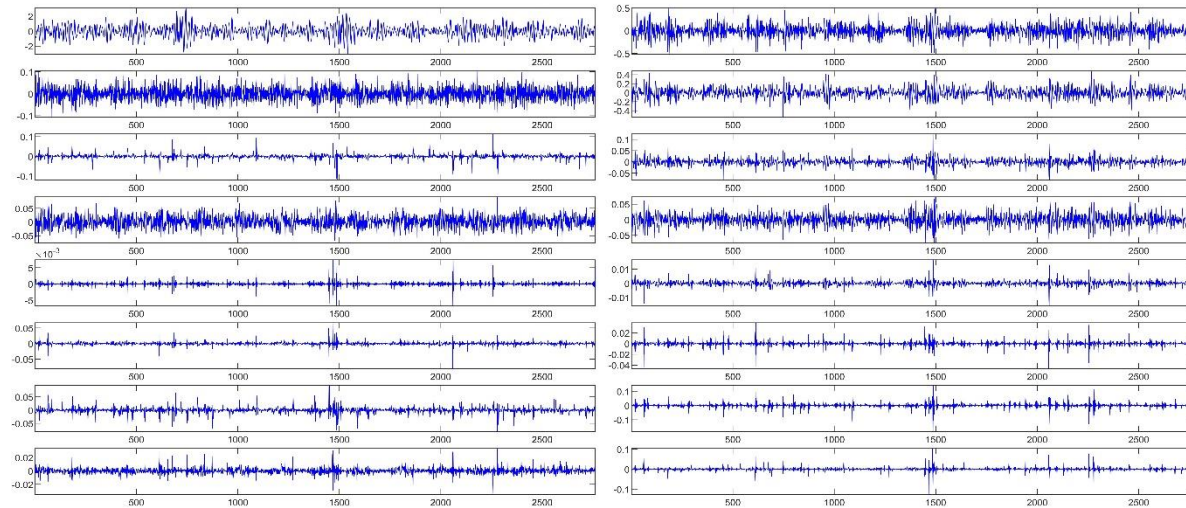
شکل ۴) درخت بسته موجک



(الف)



(ب)



(ج)

شکل ۵) ضریب بسته موجک استخراج شده در سطح چهارم برای (الف) چرخ دنده سالم (ب) چرخ دنده با دندانه های ساییده شده (ج) چرخ دنده با دندانه های شکسته شده

یک برگ است. هر گره به یک ویژگی از داده ها اشاره دارد و به طور تصادفی به دو یا چند شاخه تقسیم می شود. در واقع این تکنیک درختی از یک سری تصمیمات در مورد ویژگی های داده ها به صورت سلسله مراتبی ساخته می شود و در نهایت به یک تصمیم دسته بندی می رسد [36].

ماشین بردار پشتیبان (SVM): یک تکنیک یادگیری ماشین آماری است که هدف اصلی در آن، شناسایی مرز تصمیم گیری یا ابرصفحه جدا کننده بهینه است، به طوری که منجر به حداکثر حاشیه در بین نمونه های دو کلاس شود. این طبقه بند برای تفکیک داده هایی با ساختار غیرخطی و پیچیده از توابع کرنل (خطی، غیرخطی، چند جمله ای، سیگمونید و تابع پایه شعاعی (RBF)) استفاده می کند. در این پژوهش از تابع کرنل RBF استفاده شده است [37].

جدول ۱) ویژگی های آماری استخراج شده از ضرایب WPT

ویژگی	فرمول ریاضی	ویژگی	فرمول ریاضی
میانگین	$\bar{x} = \frac{\sum_{i=1}^n x_i}{n}$	توان	$\sqrt[n]{\sum_{i=1}^n x_i^2}$
میانگین مطلق	$\frac{\sum_{i=1}^n x_i }{n}$	انرژی	$\sum_{i=1}^n x_i^2$
انحراف معیار	$\sqrt{\frac{\sum_{i=1}^n (x_i - \bar{x})^2}{n-1}}$	لگاریتم انرژی	$\log \sum_{i=1}^n x_i^2$
جذر میانگین مربعات	$\sqrt{\frac{\sum_{i=1}^n x_i^2}{n}}$	انرژی Teager	$\sum_{i=2}^{n-1} x_i^2 - x_{i+1}x_{i-1}$
چولگی	$\frac{1}{n} \frac{\sum_{i=1}^n (x_i - \bar{x})^3}{s^3}$	انرژی شانون	$\sum_{i=1}^n x_i^2 \log x_i^2$
کشیدگی	$\frac{1}{n} \frac{\sum_{i=1}^n (x_i - \bar{x})^4}{s^4}$	عبور از صفر	$\sum_{i=2}^n [\operatorname{sign}(x_i x_{i-1}) < 0]$

۵-۴-۲- طبقه بند کننده ها

هدف نهایی در هر مسأله شناسایی الگو و تشخیص خطا، تفکیک مجموعه ای از داده های ورودی به دو یا چند کلاس مختلف است. در این پژوهش به منظور انجام طبقه بندی بر روی سه وضعیت گروه چرخ دنده های سالم، گروه چرخ دنده های با ساییدگی و گروه چرخ دنده های شکسته شده از ۴ طبقه بند جداساز خطی (LDA)، K نزدیک ترین همسایه (KNN)، درخت تصمیم (DT) و ماشین بردار پشتیبان (SVM) استفاده شده است.

طبقه بند جداساز خطی (LDA): یک از ساده ترین و در عین حال پرکاربرد ترین روش های یادگیری بدون ناظارت LDA است که به طور گسترده ای تاکنون در حوزه تشخیص الگو و یادگیری ماشین به منظور شناسایی ترکیب خطی از ویژگی هایی که قادر هستند کلاس ها (خروجی ها) را از یکدیگر تمایز کنند، مورد استفاده قرار گرفته است. در این تکنیک، نسبت واریانس بین کلاس ها را به واریانس درون کلاس ها به حداکثر می رسانند تا حداکثر تفکیک تضمین شود [34].

K نزدیک ترین همسایه (KNN): یک تکنیک یادگیری با ناظارت است که از یک مفهوم شهودی برای پیدا کردن نقاط همسایه استفاده می کند. برای پیدا کردن نزدیک ترین همسایه ها به داده تست، فاصله اقلیدسی این داده از تمام داده ها محاسبه می شود و K نزدیک ترین همسایه انتخاب می شود و ورودی بر اساس برچسب K همسایه نزدیک به آن طبقه بندی می شود [35]. در این پژوهش ۳ K در نظر گرفته شده است.

درخت تصمیم (DT): درخت تصمیم یک ساختار درختی برای طبقه بندی الگوهای است که شامل تعدادی شاخه، ریشه، تعدادی گره و تعدادی برگ است. یک شاخه زنجیره ای از گره ها از ریشه تا

۳- نتایج

به منظور پیاده‌سازی روش پیشنهادی از سیستم مجهر به رم ۶ گیگابایتی، پردازنده i7 Intel(R) Core(TM) و محیط MATLAB استفاده شده است. پس از آنکه با استفاده از اعتبارسنجی مقابل داده‌ها به دو قسمت آموزش و تست تفکیک شدند با استفاده از طبقه‌بندی SVM، LDA، DT، KNN و برای سه دسته بندی دو کلاسه مختلف زیر معيارهای ارزیابی محاسبه شده‌اند:

- (۱) دسته چرخ‌نده‌های گروه سالم و چرخ‌نده‌های گروه ساییده-شده

- (۲) دسته چرخ‌نده‌های گروه سالم و گروه شکسته‌شده
- (۳) دسته چرخ‌نده‌های گروه ساییده‌شده و چرخ‌نده‌های گروه شکسته‌شده.

مقدار میانگین و انحراف معيارهای ارزیابی برای هر دو سرعت ۶۶ و ۹۹ دور بر دقیقه (RPM) برای هر سه دسته بندی دو کلاسه فوق در جدول ۳ تا جدول ۴ ارائه شده است. همان طور که در این جدول‌ها نمایش داده شده است، تمامی معيارهای ارزیابی نشان گرفته باشند. لذا تنها بررسی دقیق تریکی از این معيارها می‌تواند کفايت کرده که در بین معيارهای معرفی شده، معيار دقت (ACC) بررسی می‌شود. میانگین مقدار دقت چهار طبقه‌بندی برای هر سه دسته بندی در سرعت ۶۶ دور بر دقیقه، به ترتیب ۹۶/۹۰، ۹۹/۹۰ و ۹۸/۶۶ درصد و برای سرعت ۹۹ دور بر دقیقه، برابر با ۴۶/۴۹، ۹۹/۴۲ و ۹۹/۰۳ درصد به دست آمده است. با وجودی که بیشترین و کمترین مقدار دقت طبقه‌بندی در سرعت ۶۶ دور بر دقیقه، به ترتیب برای تفکیک دو کلاس (چرخ‌نده‌های گروه سالم از چرخ‌نده‌های گروه ساییده-شده) و تفکیک دو کلاس (چرخ‌نده‌های گروه ساییده‌شده از چرخ‌نده‌های گروه شکسته‌شده) حاصل شده است، اما تفاوت دقت‌ها ۹۹/۹۶ و ۹۸/۶۶ درصد آنچنان قابل توجه نیست. از طرف دیگر با بررسی کلی جدول‌های ارائه شده به خوبی معلوم می‌شود که کمترین دقت مشاهده شده در طبقه‌بندی LDA در سرعت دورانی ۹۹ دور بر دقیقه با معيارهای TNR و TPR شناسایی شده که این میزان بالاتر از ۹۶٪ است، لذا می‌توان نتیجه گرفت که عملکرد روش پیشنهادی بسیار رضایت بخش بوده است.

نتیجه این پژوهش منجر به دستیابی یک روش غیرتماسی برای تشخیص آسیب‌های سطحی و حجمی چرخ‌نده‌ها خواهد بود. البته لازم به ذکر است که جهت تجاری‌سازی نتایج این مطالعه باید محدودیتها و مشکلات مختلف محیطی و داده برداری از دیدگاه وجود انواع نویز، انواع هندسه چرخ‌نده و شرایط عملیاتی مورد بررسی بیشتر قرار گیرد. بدیهی است که شرایط اجرایی و محیطی در نمونه‌های عملیاتی با نمونه‌های آزمایشگاهی تفاوت

جدول ۲) معيارهای سنجش طبقه‌بندکننده

معیار	فرمول ریاضی
دقت (ACC)	$\frac{TN + TP}{TN + TP + FN + FP}$
حساسیت یا نرخ مثبت صحیح (TPR)	$\frac{TP}{TP + FN}$
ویژگی یا نرخ مثبت کاذب (TNR)	$\frac{TN}{TN + FP}$
ارزش پیش‌بینی (PPV)	$\frac{TP}{TP + FP}$
مثبت (NPV)	$\frac{TN}{TN + FN}$
میانگین هندسی (G-mean)	$\sqrt{\frac{TP}{TP + FN} \times \frac{TN}{TN + FP}}$

۴-۶-۲- معیارهای سنجش

به منظور بررسی عملکرد طبقه‌بندی کننده‌ها، معيارهای دقت (ACC)، نرخ مثبت واقعی (TPR)، نرخ منفي واقعی (TNR)، ارزش پیش‌بینی مثبت (PPV)، ارزش پیش‌بینی منفي (NPV)، میانگین هندسی (G-mean) (MCC)، نمره F1 و ضریب همبستگی متیوز (MCC) محاسبه شده است که فرمول ریاضی آن‌ها در جدول ۲ آورده شده است [۳۸]. برای محاسبه این معيارها از ماتریس درهم‌ریختگی استفاده شده که ابزاری مناسب برای بررسی میزان کارایی سیستم-

های طبقه‌بندی باشد و مبتنی بر ۴ پارامتر زیر است:

مثبت واقعی (TP): میزان چرخ‌نده‌های معیوب که به درستی تشخیص داده شده‌اند.

منفي واقعی (TN): میزان چرخ‌نده‌های سالم که به درستی سالم تشخیص داده شده‌اند.

مثبت کاذب (FP): میزان چرخ‌نده‌های سالم که به اشتباه معیوب تشخیص داده شده‌اند.

منفي کاذب (FN): میزان چرخ‌نده‌های معیوب که به اشتباه سالم تشخیص داده شده‌اند.

۷-۴-۲- اعتبارسنجی

در این مرحله برای ارزیابی نتایج طبقه‌بندی و تشخیص خطأ، از اعتبارسنجی مقابل ۱۰-fold استفاده شده است. بدین صورت که مجموعه داده‌ها به صورت تصادفی به ۱۰ قسمت مساوی تقسیم می‌شود و در هر مرحله یک قسمت از داده‌ها بعنوان مجموعه داده تست و ۹ قسمت باقی‌مانده بعنوان مجموعه داده آموزش به کار رفته است. این روال، ۱۰ بار تکرار شده و در نهایت میانگین نتیجه ۱۰ بار تست بعنوان نتیجه نهایی فرایند تشخیص خطأ گزارش شده است.

جدول ۳) نتایج دسته بندی چرخ دنده سالم و ساییده شده

طبقه‌بند	RPM	سرعت	Mean STD	ACC %	TPR %	TNR %	PPV %	NPV %	Gmean	F1	MCC
LDA	66	Mean	99/8675	99/8875	99/8475	99/8476	99/8875	99/8875	0/9987	0/9987	0/9974
		STD	0/0401	0/0659	0/0558	0/0557	0/0658	0/0658	0/0004	0/0004	0/0008
	99	Mean	97/8925	98/8540	97/22450	97/22812	98/5221	97/8925	0/9789	0/9789	0/9579
		STD	0/1845	0/3361	0/2913	0/2765	0/32334	0/0018	0/0018	0/0018	0/0037
KNN	66	Mean	99/9838	99/9750	99/9925	99/9925	99/9750	99/998	0/9998	0/9998	0/9997
		STD	0/0145	0/0264	0/0169	0/0169	0/0263	0/0001	0/0001	0/0001	0/0002
	99	Mean	99/9663	99/9550	99/9775	99/9775	99/9550	0/9997	0/9997	0/9993	0/9993
		STD	0/0187	0/0329	0/0249	0/0249	0/0329	0/0001	0/0001	0/0001	0/0003
DT	66	Mean	99/9925	99/9925	99/9925	99/9925	99/9925	0/9999	0/9999	0/9999	0/9999
		STD	0/0105	0/0169	0/0121	0/0121	0/0169	0/0001	0/0001	0/0001	0/0002
	99	Mean	99/9950	99/9975	99/9925	99/9925	99/9975	0/9999	0/9999	0/9999	0/9999
		STD	0/0121	0/0079	0/0169	0/0169	0/0079	0/0001	0/0001	0/0001	0/0002
SVM	66	Mean	99/9925	99/9925	99/9925	99/9925	99/9925	0/9999	0/9999	0/9999	0/9999
		STD	0/0087	0/0121	0/0121	0/0121	0/0000	0/0000	0/0001	0/0001	0/0003
	99	Mean	99/9725	99/9525	99/9925	99/9925	99/9525	0/9997	0/9997	0/9995	0/9995
		STD	0/0165	0/0322	0/0121	0/0121	0/0321	0/0001	0/0001	0/0001	0/0003

جدول ۴) نتایج دسته بندی چرخ سالم و شکسته شده

طبقه‌بند	RPM	سرعت	Mean STD	ACC %	TPR %	TNR %	PPV %	NPV %	Gmean	F1	MCC
LDA	66	Mean	99/6263	99/5475	99/7050	99/7045	99/5483	0/9963	0/9963	0/9925	
		STD	0/0647	0/1064	0/0438	0/0438	0/1057	0/0006	0/0006	0/0013	
	99	Mean	97/9125	97/2275	98/5975	98/5783	97/2657	0/9791	0/9791	0/9583	
		STD	0/23347	0/23305	0/22405	0/22424	0/3199	0/0024	0/0024	0/0047	
KNN	66	Mean	99/9863	99/9875	99/9850	99/9850	99/9875	0/9999	0/9999	0/9997	
		STD	0/0138	0/0177	0/0211	0/0211	0/0177	0/0001	0/0001	0/0002	
	99	Mean	99/8737	99/9075	99/8400	99/8401	99/9075	0/9987	0/9987	0/9975	
		STD	0/0260	0/0541	0/0428	0/0427	0/0540	0/0002	0/0002	0/0005	
DT	66	Mean	99/9900	99/9875	99/9925	99/9925	99/9875	0/9999	0/9999	0/9998	
		STD	0/0099	0/0132	0/0121	0/0121	0/0132	0/0000	0/0000	0/0001	
	99	Mean	99/9888	99/9875	99/9900	99/9900	99/9875	0/9999	0/9999	0/9998	
		STD	0/0161	0/0177	0/0211	0/0211	0/0177	0/0001	0/0001	0/0003	
SVM	66	Mean	99/9875	99/9925	99/9825	99/9825	99/9925	0/9999	0/9999	0/9998	
		STD	0/0144	0/0169	0/0205	0/0206	0/0169	0/0001	0/0001	0/0003	

جدول ۵) نتایج دسته بندی چرخ دنده ساییده و شکسته شده

طبقه‌بندی	سرعت RPM	Mean	ACC %	TPR %	TNR %	PPV %	NPV %	Gmean	F1	MCC
		Mean								
LDA	۶۶	Mean	۹۸/۱۲۵۰	۹۸/۴۹۰۰	۹۷/۷۶۰۰	۹۷/۷۷۶۷	۹۸/۴۷۹۳	۰/۹۸۱۲	۰/۹۸۱۲	۰/۹۶۲۵
		STD	۰/۱۸۶۱	۰/۲۴۳۰	۰/۲۴۷۰	۰/۲۴۰۵	۰/۲۴۱۶	۰/۰۰۱۹	۰/۰۰۱۹	۰/۰۰۳۷
	۹۹	Mean	۹۶/۳۰۸۸	۹۶/۳۷۵۰	۹۶/۲۴۲۵	۹۶/۲۴۹۵	۹۶/۳۷۱۳	۰/۳۱۹۶	۰/۳۱۹۶	۰/۹۶۲۶
		STD	۰/۲۲۳۱	۰/۳۰۷۳	۰/۴۴۱۰	۰/۴۱۹۰	۰/۲۹۱۱	۰/۰۰۲۲	۰/۰۰۲۲	۰/۰۰۴۵
KNN	۶۶	Mean	۹۸/۴۸۶۳	۹۸/۶۱۲۵	۹۸/۳۶۰۰	۹۸/۳۶۴۴	۹۸/۶۰۹۱	۰/۹۸۴۹	۰/۹۸۴۹	۰/۹۶۹۷
		STD	۰/۱۴۲۹	۰/۱۳۴۵	۰/۲۰۹۹	۰/۲۰۶۸	۰/۱۳۴۰	۰/۰۰۱۴	۰/۰۰۱۴	۰/۰۰۲۹
	۹۹	Mean	۹۹/۹۱۵۰	۹۹/۹۱۷۵	۹۹/۹۱۲۵	۹۹/۹۱۲۵	۹۹/۹۱۷۵	۰/۹۹۹۱	۰/۹۹۹۱	۰/۹۹۸۳
		STD	۰/۰۳۵۷	۰/۰۵۰۱	۰/۰۴۷۵	۰/۰۴۷۵	۰/۰۵۰۰	۰/۰۰۳	۰/۰۰۳	۰/۰۰۰۷
DT	۶۶	Mean	۹۸/۹۴۱۳	۹۸/۹۴۷۵	۹۸/۹۳۵۰	۹۸/۹۳۵۳	۹۸/۹۴۷۴	۰/۹۸۹۴	۰/۹۸۹۴	۰/۹۷۸۸
		STD	۰/۱۳۹۸	۰/۱۳۵۶	۰/۱۷۴۹	۰/۱۷۳۸	۰/۱۳۵۳	۰/۰۰۱۴	۰/۰۰۱۴	۰/۰۰۲۸
	۹۹	Mean	۹۹/۹۷۷۵	۹۹/۹۷۵۰	۹۹/۹۸۰۰	۹۹/۹۸۰۰	۹۹/۹۷۵۰	۰/۹۹۹۸	۰/۹۹۹۸	۰/۹۹۹۶
		STD	۰/۰۱۵۴	۰/۰۲۰۴	۰/۰۲۵۸	۰/۰۲۵۸	۰/۰۲۰۴	۰/۰۰۱	۰/۰۰۱	۰/۰۰۰۳
SVM	۶۶	Mean	۹۹/۰۹۳۷	۹۹/۳۳۵۰	۹۸/۸۵۲۵	۹۸/۸۵۸۴	۹۹/۳۳۱۷	۰/۹۹۰۹	۰/۹۹۰۹	۰/۹۸۱۹
		STD	۰/۱۷۴۸	۰/۱۲۵۴	۰/۲۶۰۵	۰/۲۵۷۵	۰/۱۲۶۰	۰/۰۰۱۷	۰/۰۰۱۸	۰/۰۰۳۵
	۹۹	Mean	۹۹/۹۱۲۵	۹۹/۹۹۰۰	۹۹/۸۳۵۰	۹۹/۸۳۵۳	۹۹/۹۹۰۰	۰/۹۹۹۱	۰/۹۹۹۱	۰/۹۹۸۳
		STD	۰/۰۲۶۴	۰/۰۱۲۹	۰/۰۵۰۳	۰/۰۵۰۱	۰/۰۱۲۹	۰/۰۰۰۲	۰/۰۰۰۲	۰/۰۰۰۵

روش پیشنهادی به خوبی توانسته است با دقت بالایی، دسته‌بندی را انجام دهد و چرخدنده‌های سالم را از چرخدنده‌های معیوب شناسایی کند. با توجه به اینکه چرخدنده با دندانه‌های شکسته شده خطای متفاوتی در مقایسه با چرخدنده با دندانه‌های ساییده شده ایجاد می‌کند نیز نتایج نشان داده است که با استفاده از اطلاعات حوزه زمان - فرکانس و روش تبدیل بسته موجک به خوبی این دو نوع خطا از یکدیگر تفکیک شده‌اند. به منظور ارزیابی عملکرد طبقه‌بندکننده‌ها از ۸ معیار ACC, TPR, TNR, PPV, NPV، G-mean، F1 و MCC استفاده شده که تمام این معیارها به خوبی توانسته‌اند در هر سه حالت در نظر گرفته شده با درصد بالایی صحت نتایج طبقه‌بندی را نشان دهند. به عنوان مثال، کمترین دقت مشاهده شده در طبقه بند LDA در سرعت دورانی ۹۹ دور بر دقیقه با معیارهای TPR و TNR رخ داده است که این میزان دقت با انحراف از معیار کمتر از $۰/۵$ ٪، بالاتر از ۹۶٪ است، که از کم بودن این خطا می‌توان نتیجه گرفت که روش پیشنهادی می‌تواند یک جایگزین مناسب، امیدوار کننده و کارآمد برای تشخیص سریع تر و ارزان‌تر عیوب‌های چرخدنده‌های پلیمری باشد.

تاییدیه اخلاقی: این مقاله تاکنون در نشریه دیگری به چاپ نرسیده و همچنین برای بررسی یا چاپ به نشریه دیگری نیز ارسال نشده است.

خواهد داشت. برای این منظور پیش‌بینی می‌شود که در کاربرد عملیاتی این روش لازم است که یک نمونه کامل از دستگاه مد نظر که چرخدنده‌ها در آن به کار رفته باشد را الگو برداری نموده و سیگنال‌های صدا را برای نمونه سالم که قطعاً شامل فرکانس‌های مختلف صوتی می‌باشد ثبت کرد. هر چقدر تعداد نمونه‌های سالم و معیوب بیشتری مورد استفاده قرار گیرد، می‌توان به بانک داده بزرگ‌تری دسترسی داشت که نهایتاً دقت عملکرد آسیب‌شناسی را افزایش خواهد داد.

۴- نتیجه‌گیری

در این پژوهش، یک روش تشخیص خطای ناشی از ساییده شدن و یا شکسته شدن چرخدنده پلیمری پیشنهاد شده است. بدین منظور پس از اکتساب سیگنال صوت در سه وضعیت چرخدنده‌های سالم، چرخدنده با دندانه‌های ساییده شده و چرخدنده با دندانه‌های شکسته، از الگوریتم تبدیل بسته موجک استفاده شده است تا اطلاعات سیگنال در حوزه زمان - فرکانس محاسبه شود.

به منظور بررسی اطلاعات در این حوزه از ۱۲ ویژگی آماری استفاده شده تا اطلاعات استخراج شود و در نهایت با استفاده از چهار طبقه‌بند LDA، KNN، DT، SVM میزان دقت تفکیک دو به دو حالت‌های مدنظر بررسی شده است. نتایج نشان داده است که

- EMD based statistical parameter analysis. Measurement. 2014 Dec 1;58:154-64.
- 13- Karabacak YE, Özmen NG. Common spatial pattern-based feature extraction and worm gear fault detection through vibration and acoustic measurements. Measurement. 2022 Jan 1;187:110366.
- 14- Caso Fernández E, Fernández del Rincón A, García Fernández P, Díez Ibarbia A, Sánchez Espiga J. An experimental study of acoustic emissions from active surface degradation in planetary gears.
- 15- Zhang D, Stewart E, Entezami M, Roberts C, Yu D. Intelligent acoustic-based fault diagnosis of roller bearings using a deep graph convolutional network. Measurement. 2020 May 1;156:107585.
- 16- Kuai M, Cheng G, Pang Y, Li Y. Research of planetary gear fault diagnosis based on permutation entropy of CEEMDAN and ANFIS. Sensors. 2018 Mar 5;18(3):782.
- 17- Jena DP, Panigrahi SN. Automatic gear and bearing fault localization using vibration and acoustic signals. Applied Acoustics. 2015 Nov 1;98:20-33.
- 18- Xiao M, Zhang W, Zhao Y, Xu X, Zhou S. Fault diagnosis of gearbox based on wavelet packet transform and CLSPSO-BP. Multimedia Tools and Applications. 2022 Mar;81(8):11519-35.
- 19- He F, Ye Q. A bearing fault diagnosis method based on wavelet packet transform and convolutional neural network optimized by simulated annealing algorithm. Sensors. 2022 Feb 12;22(4):1410.
- 20- Meserkhani A, Jafari SM, Rahi A. Experimental comparison of acoustic emission sensors in the detection of outer race defect of angular contact ball bearings by artificial neural network. Measurement. 2021 Jan 15;168:108198.
- 21- Garcia Marquez FP, Gómez Muñoz CQ. A new approach for fault detection, location and diagnosis by ultrasonic testing. Energies. 2020 Mar 5;13(5):1192.
- 22- Liu X, Pei D, Lodewijks G, Zhao Z, Mei J. Acoustic signal based fault detection on belt conveyor idlers using machine learning. Advanced Powder Technology. 2020 Jul 1;31(7):2689-98.
- 23- Liu L, Chen L, Wang Z, Liu D. Early fault detection of planetary gearbox based on acoustic emission and improved variational mode decomposition. IEEE Sensors Journal. 2020 Aug 12;21(2):1735-45.
- 24- Kumar A, Parey A, Kankar PK. Supervised machine learning based approach for early fault detection in polymer gears using vibration signals. MAPAN. 2023 Jun;38(2):383-94.
- 25- Kumar A, Parey A, Kankar PK. Polymer gear fault classification using EMD-DWT analysis based on combination of entropy and Hjorth features. Indian Journal of Pure & Applied Physics (IJPAP). 2022 Nov 4;60(4):339-46.
- 26- Kumar A, Parey A, Kankar PK. Vibration based fault detection of polymer gear. Materials Today: Proceedings. 2021 Jan 1;44:2116-20.
- 27- Kumar A, Parey A, Kankar PK. A new hybrid LSTM-GRU model for fault diagnosis of polymer gears using vibration signals. Journal of Vibration Engineering & Technologies. 2024 Feb;12(2):2729-41.
- 28- Agrawal S, Giri VK, Tiwari AN. Induction motor bearing fault classification using WPT, PCA and DSVM.

تعارض منافع: مقاله حاضر هیچگونه تعارض منافعی با سازمان‌ها و اشخاص دیگر ندارد.

منابع مالی: پژوهش حاضر در قالب طرح پژوهشی درون دانشگاهی شماره ۱۴۰۱/۵/۴۱۸۰ با عنوان "عیب‌یابی پیشرفته چرخدنده‌های پلیمری POM با استفاده از روش صوتی و پردازش سیگنال" و با حمایت مالی حوزه معاونت پژوهش و فناوری دانشگاه آزاد اسلامی واحد شیراز انجام شده است. همچنین نگارندگان از حمایت‌های مالی قبلی واحد پژوهش شرکت گاز استان فارس از ساخت نمونه اولیه دستگاه تست چرخدنده قدردانی می‌نمایند.

منابع

- Park YJ, Fan SK, Hsu CY. A review on fault detection and process diagnostics in industrial processes. Processes. 2020 Sep 9;8(9):1123.
- Azarshab A, Shahbazian M. Fault detection in nonlinear dynamical systems using multi-sensor data fusion based on Hybrid Extended Information Filter. Modares Mechanical Engineering. 2017 Mar 10;17(2):413-9.
- Bhuiyan MR, Uddin J. Deep transfer learning models for industrial fault diagnosis using vibration and acoustic sensors data: A review. Vibration. 2023 Feb 17;6(1):218-38.
- Mathew SK, Zhang Y. Acoustic-based engine fault diagnosis using WPT, PCA and Bayesian optimization. Applied Sciences. 2020 Oct 1;10(19):6890.
- Glowacz A. Acoustic fault analysis of three commutator motors. Mechanical Systems and Signal Processing. 2019 Nov 1;133:106226.
- Maraaba LS, Memon AM, Abido MA, AlHems LM. An efficient acoustic-based diagnosis of inter-turn fault in interior mount LSPMSM. Applied Acoustics. 2021 Feb 1;173:107661.
- Hou J, Sun H, Xu A, Gong Y, Ning D. Fault diagnosis of synchronous hydraulic motor based on acoustic signals. Advances in Mechanical Engineering. 2020 Apr;12(4):1687814020916107.
- Xie Y, Xiao Y, Liu X, Liu G, Jiang W, Qin J. Time-frequency distribution map-based convolutional neural network (CNN) model for underwater pipeline leakage detection using acoustic signals. Sensors. 2020 Sep 4;20(18):5040.
- Yu L, Yao X, Yang J, Li C. Gear fault diagnosis through vibration and acoustic signal combination based on convolutional neural network. Information. 2020 May 14;11(5):266.
- Al Bugharbee HR, Al-Bunduqee AS, Hamdoon FO. A new audio signalbased methodology for fault detection in gears. J Mech Eng Res Dev. 2020;43:12-21.
- Tang X, Xu Y, Sun X, Liu Y, Jia Y, Gu F, Ball AD. Intelligent fault diagnosis of helical gearboxes with compressive sensing based non-contact measurements. ISA transactions. 2023 Feb 1;133:559-74.
- Amarnath M, Krishna IP. Local fault detection in helical gears via vibration and acoustic signals using

- Journal of Intelligent & Fuzzy Systems. 2018 Jan 1;35(5):5147-58.
- 29- Erdovan M. Design and manufacture of diaphragm gas meter gear test device. Master's thesis, Shiraz Islamic Azad University, 2017.)In Persian(
- 30- Khoshkar F. Laboratory investigation of the effect of adding nanoparticles to polyoxymethylene on the operational properties of diaphragm gas meter gears. Master's thesis, Shiraz Islamic Azad University, 2017.)In Persian(
- 31- Wu JD, Liu CH. An expert system for fault diagnosis in internal combustion engines using wavelet packet transform and neural network. Expert systems with applications. 2009 Apr 1;36(3):4278-86.
- 32- Graps A. An introduction to wavelets. IEEE computational science and engineering. 1995;2(2):50-61.
- 33- Guo T, Zhang T, Lim E, Lopez-Benitez M, Ma F, Yu L. A review of wavelet analysis and its applications: Challenges and opportunities. IEEE Access. 2022 Jun 1;10:58869-903.
- 34- Shi M, Cao Z, Liu Y, Liu F, Lu S, Li G. Feature extraction method of rolling bearing based on adaptive divergence matrix linear discriminant analysis. Measurement Science and Technology. 2021 Apr 30;32(7):075003.
- 35- Tian J, Morillo C, Azarian MH, Pecht M. Motor bearing fault detection using spectral kurtosis-based feature extraction coupled with K-nearest neighbor distance analysis. IEEE Transactions on Industrial Electronics. 2015 Dec 17;63(3):1793-803.
- 36- Sreenath PG, Praveen Kumare G, Pravin S, Vikram KN, Saimurugan M. Automobile gearbox fault diagnosis using Naive Bayes and decision tree algorithm. Applied mechanics and materials. 2015 Dec 27;813:943-8.
- 37- Li N, Zhou R, Hu Q, Liu X. Mechanical fault diagnosis based on redundant second generation wavelet packet transform, neighborhood rough set and support vector machine. Mechanical systems and signal processing. 2012 Apr 1;28:608-21.
- 38- Vaghefi M, Barforoushan A, Nejabat GR, Tavallali MS. A Machine Learning Approach for Polymer Classification Based on the Thermal Response under Data Scarcity— Tested on PMMA. Industrial & Engineering Chemistry Research. 2023 Jun 29;62(27):10711-20.